

УДК 621.397

## ПРОГРАММИРОВАНИЕ ЗАДАЧ ВОССТАНОВЛЕНИЯ ИСКАЖЕННЫХ ИЗОБРАЖЕНИЙ НА C/C++ В СИГНАЛЬНЫХ МИКРОПРОЦЕССОРАХ ФИРМЫ TEXAS INSTRUMENTS

К.А. Кирьянов, В.С. Сизиков

Рассматривается инструментальная реализация алгоритмов восстановления искаженных (смазанных, дефокусированных и (или) зашумленных) изображений. Рассмотрены особенности программирования на языке C/C++ ранее разработанных и опубликованных алгоритмов для прямой, а также более сложной и важной для практики обратной задачи.

**Ключевые слова:** искажение изображения, прямая и обратная задачи, язык C/C++, сигнальный микропроцессор, персональный компьютер.

### Введение. Реализуемые методы и алгоритмы

Известные задачи восстановления (реконструкции, реставрации) искаженных (смазанных, дефокусированных и (или) зашумленных) изображений сформулированы в работах [1–12] и др. Они обычно описываются набором одномерных интегральных уравнений (ИУ) Фредгольма I рода типа свертки,

$$Aw \equiv \int_{-\infty}^{\infty} h(x - \xi) w_y(\xi) d\xi = g_y(x) + \delta g, \quad a \leq x \leq b, \quad c \leq y \leq d, \quad (1)$$

или одним двумерным ИУ Фредгольма I рода типа свертки,

$$Aw \equiv \int_{-\infty}^{\infty} \int_{-\infty}^{\infty} h(x - \xi, y - \eta) w(\xi, \eta) d\xi d\eta = g(x, y) + \delta g, \quad a \leq x \leq b, \quad c \leq y \leq d, \quad (2)$$

где  $h$  – функция рассеяния точки (ФРТ), в большинстве случаев пространственно-инвариантная (разностная);  $A$  – оператор;  $w$  и  $g$  – распределение интенсивности по истинному и искаженному изображениям соответственно;  $\delta g$  – помеха. В (1) ось  $x$  направлена вдоль смаза, а  $y$  играет роль параметра. Набор уравнений (1) часто используется в задаче смазывания, а (2) – в задаче дефокусирования изображения [2–11].

Задача решения ИУ (1) и (2) является некорректной (существенно неустойчивой), поэтому ИУ (1) при каждом  $y$  часто решают методом квадратур или методом одномерного преобразования Фурье (ПФ) с регуляризацией Тихонова [7, 9–11], а ИУ (2) – методом двумерного ПФ с регуляризацией Тихонова [2–7, 10, 11]. Для решения ИУ (1) и (2) используют также метод параметрической фильтрации Винера [4, 5, 7, 9–11], алгоритм Люси–Ричардсона [5] и метод «слепой» деконволюции [5]. Для решения ИУ (1) или (2) можно использовать также метод итеративной регуляризации Фридмана [10, 11, 13] (о других методах см. [4, 5, 13]). Эти методы могут быть реализованы не только на универсальных ЭВМ или персональных компьютерах (ПК) [3, 5, 10, 11], но и на спецпроцессорах, в частности, сигнальных микропроцессорах или систолических процессорах [8, 12, 14–16]. Использование спецпроцессоров ведет к уменьшению габаритов обрабатывающих устройств и позволяет повысить качество прибора наблюдения (фотоаппарата, телескопа, микроскопа, спектрометра и т.д.) за счет встроенных алгоритмов обработки изображения.

В работе рассматриваются особенности задачи реализации методов и алгоритмов решения ИУ (1) и (2) применительно к восстановлению искаженных изображений с помощью цифровых сигнальных процессоров (ЦСП) и программируемых логических интегральных схем (ПЛИС) [8, 12, 14–16]. В работе [12] уже рассмотрена специфика реализации на спецпроцессорах метода квадратур и метода ПФ с регуляризацией Тихонова применительно к ИУ (1). В настоящей работе остановимся на методе итеративной регуляризации Фридмана решения ИУ (2).

### Метод итеративной регуляризации Фридмана

Полагаем, что ядро  $h$  уравнения (2) симметрично, т.е.  $h(x, y) = h(|x|, |y|)$ . Тогда метод Фридмана для решения ИУ (2) описывается следующим соотношением [10, 11, 13]:

$$w_k(x, y) = w_{k-1}(x, y) + v \left[ g(x, y) - \int_a^b \int_c^d h(x - \xi, y - \eta) w_{k-1}(\xi, \eta) d\xi d\eta \right], \quad (3)$$

где  $w_{k-1}(x, y)$  и  $w_k(x, y)$  – решения, полученные в  $(k-1)$ -й и  $k$ -й итерациях (приближениях) соответственно, при этом  $w_0(x, y)$  – начальное приближение;  $k = 1, 2, 3, \dots$  – номер итерации;  $v$  – параметр, удовлетворяющий условию  $0 \leq v \leq 2/\|A\|$ , где  $\|A\| = \left\{ \int_a^b \int_c^d h^2(x, y) dx dy \right\}^{1/2}$  – норма ФРТ.

Для задач дефокусирования  $w_k(x, y)$  – изображение, получаемое в  $k$ -й итерации, а  $g(x, y)$  – правая часть уравнения (искаженное изображение). Метод Фридмана весьма чувствителен к начальному при-

ближению, которое при реализации обычно полагается равным  $w_0(x, y) = 0$ . Задавшись каким-то (не обязательно нулевым) начальным приближением и выполняя итерационный процесс (3), в принципе можно получить приближение к искомому решению (истинному изображению). Но, поскольку задача некорректна, а правая часть обычно зашумлена, то до некоторого номера итераций  $k^*$  процесс обычно сходится к решению, после чего он начинает расходиться [10, рис. 2.70; 13, рис. 21]. Поэтому нужно ввести критерий останова процесса, т.е. выбора числа итераций  $k^*$ , которое играет роль параметра регуляризации [13, с. 272–275].

### Особенности программной реализации алгоритмов на PC и DSP

Оценим объем памяти, требуемый для размещения одного изображения. Для примера рассмотрим серое изображение размером  $512 \times 512 = 262\,144$  пикселей, записываемое с разрядностью 8 бит на пиксель. Очевидно, что для хранения всего изображения необходимо приблизительно 2 Мбит памяти. Для реализации метода Фридмана требуется хранить 3 изображения:  $g$ ,  $w_{k-1}$  и  $w_k$ , что составляет 6 Мбит памяти. Эта величина не критична для ПК, но сопоставима с общим объемом памяти современных высокопроизводительных ЦСП. Таким образом, ключевым моментом рассматриваемой задачи для ЦСП является оптимизация объема используемой оперативной памяти.

**Реализация алгоритмов на ПК.** На ПК в системе Windows на одну точку изображения отводится 32 бита (4 Б). Из них первый байт ( $A$ ) отвечает за прозрачность изображения, а три других байта ( $R$ ,  $G$  и  $B$ ) содержат значения интенсивностей по соответствующим цветовым каналам ( $R_{\text{исх}}$ ,  $G_{\text{исх}}$ ,  $B_{\text{исх}}$ ). В данной работе мы рассматриваем обработку серых изображений, поэтому полагаем по умолчанию  $A = 255$  и  $R = G = B = (R_{\text{исх}} + G_{\text{исх}} + B_{\text{исх}})/3$ . Данные о каждой точке имеют тип BYTE (или unsigned char), значения которого лежат в пределах 0–255, в то время как при решении прямой и обратной задач нужны данные типа double. Поэтому при программной реализации алгоритмов требуется преобразовывать исходные данные в формат double.

При решении прямой задачи (моделировании искажений изображения) часто используются искусственные граничные условия [4, 5], в частности, дополнение исходного изображения нулями вне границ. Однако можно использовать более естественный способ – усечение изображения [7, 9–11]. Кроме того, для уменьшения эффекта Гиббса при решении обратной задачи (задачи восстановления изображения) можно использовать размытие краев изображения [7, 9–11]. Если восстановление осуществляется с помощью алгоритма быстрого преобразования Фурье (БПФ), что особенно характерно для задачи дефокусирования (решения уравнения (2)), то может потребоваться дополнение исходного изображения нулями до размера  $2^M \times 2^N$ . Чтобы данные не выходили за значение 255, вводится нормировка ФРТ, после чего вычисляется свертка с нормированной ФРТ (прямая задача). Для вывода на экран полученного искаженного изображения осуществляется обратное преобразование типа double в тип BYTE. Дробная часть данных при этом теряется, поэтому числовой массив типа double необходимо сохранять для решения обратной задачи.



а б  
Рис. 1. Дефокусированное и зашумленное изображение с размытием краев (а); изображение, восстановленное методом итеративной регуляризации Фридмана ( $\nu = 1/\|A\|$ , число итераций  $k^* = 200$ ) (б)

Перейдем к анализу обратных задач. В обратной задаче смазывания решается уравнение (1) методом квадратур или ПФ с регуляризацией Тихонова, а также методом параметрической фильтрации Винера, итераций Фридмана и т.д. Особенности методов изложены в работах [7–12]. В обратной задаче дефокусирования, в случае пространственно-инвариантной ФРТ [2–12] решается уравнение (2) методом двумерного ПФ с регуляризацией Тихонова (или другим методом). В конце восстановления изображения путем вычисления обратного ПФ от регуляризованного спектра [7–12] из результата берется только действительная часть, а мнимая часть обратного ПФ отбрасывается. Если же ФРТ является пространствен-

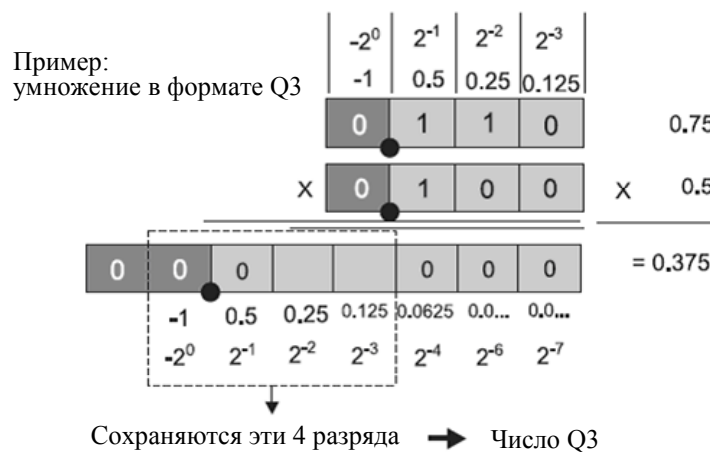
но-зависимой, то решение целесообразно осуществить рассмотренным выше методом итеративной регуляризации Фридмана [10–13]. После восстановления изображения необходимо снова преобразовать данные в формат BYTE и отобразить восстановленное изображение. Пример восстановления дефокусированного (и зашумленного) изображения методом Фридмана приведен на рис. 1.

**Реализация алгоритмов на ЦСП.** Большинство задач цифровой обработки основано на численных методах работы с матрицами, а также на методах реализации свертки и дискретных ортогональных преобразований [15–20]. Как отмечалось в [12], основная сложность в программировании алгоритмов с помощью ЦСП – это чрезвычайно ограниченные размеры оперативной памяти. В работах [8, 12] был обоснован выбор элементной базы для решения рассматриваемых задач, в том числе, микропроцессора TMS320C6457, который имеет не более 2 МБ оперативной памяти. Как отмечалось в [12], для методов, основанных на дискретных ортогональных преобразованиях, в частности, на ПФ, одним из оптимальных по быстродействию и по распределению памяти является БПФ. Для двумерного БПФ при получении двумерного Фурье-спектра из исходного изображения нужен исходный двумерный массив (изображение) и еще два одномерных массива для временных данных по столбцам. В C/C++ двумерный массив – это длинный одномерный массив с расположением элементов по строкам. В связи с этим для вычисления БПФ по столбцам необходимо брать элемент текущего столбца и записывать его во временный массив, длина которого равна степени 2.

ЦСП TMS320C6457 – это процессор с фиксированной точкой, в то время как необходимо работать с данными типа double и выполнять операции с плавающей точкой. Как отмечено в [12], ядро микропроцессора имеет 32 разряда, а данные типа double имеют 64 разряда. Для преодоления этого противоречия фирмой Texas Instruments [21] разработана библиотека IQmath [22] для работы с виртуальной точкой, с помощью которой ЦСП с фиксированной точкой (процессоры с ядром C64x+) реализуют арифметику с плавающей точкой. Процессоры с плавающей точкой (C67x+) работают на более низких частотах. Если процессор C6457 работает на частоте 1 ГГц, то тактовая частота любого из процессоров C67x+ не превышает 400 МГц. Также ощутима разница в размерах оперативной памяти: если у процессора C6457 ее размер составляет 2 МБ (кэш L2 внутри кристалла), то у большинства процессоров серии C67x+ он не превышает 300 КБ.

Во всех микропроцессорах старший разряд – всегда знаковый. На рис. 2 показано перемножение двух чисел с точкой. Для отображения результатов перемножения двух четырехразрядных чисел с полной точностью требуется 8 разрядов. Но точка перемещается также в результате перемножения. Для обеспечения необходимой точности достаточно правильно извлечь 4 разряда, как это показано на рис. 2.

Множимое и множитель имеют по 4 разряда: один до точки и три – после нее. То же самое относится и к результату. Следовательно, процессор должен иметь возможность работать с данными типа double, которые имеют 64 разряда, несмотря на то, что ядро процессора имеет только 32 разряда. Микропроцессоры серии C64x+ способны выполнять за 1 такт две операции умножения. С помощью библиотеки IQMath можно реализовать программу так, чтобы извлекать только нужные разряды из результата. Заметим, что в принципе это можно сделать и без использования упомянутой библиотеки, но тогда код становится менее читаемым и более громоздким.



Для выполнения свертки и различных ортогональных преобразований для микропроцессоров TI DSP C64x+ существует библиотека `dsplib`, в которой имеются написанные библиотеки функций БПФ, оптимизированные библиотеки векторно-матричных перемножений и различных операций с матрицами. Это существенно упрощает работу по написанию кода по сравнению с ситуацией двадцатилетней давности, когда еще не существовали C-компиляторы для ЦСП и разработчики были вынуждены работать исключительно на языке Ассемблер [23].

Плавающая точка	<pre>float Y, M, X, B; Y = M * X + B;</pre>
Q-вариант, реализованный только на языке C	<pre>int Y, M, X, B; Y = ((long long) M * (long long) X) &gt;&gt; Q + B;</pre>
Q-вариант, реализованный с помощью библиотеки IQMath	<pre>_iq Y, M, X, B; Y = _IQmpy(M, X) + B;</pre>

Рис. 3. Три примера кода

Отметим, что производителем `Einfochips Limited` поставляется отладочный модуль `TMDSEVM6457L` на базе микропроцессора `TMS320C6457` фирмы `Texas Instruments`. Кроме памяти, расположенной непосредственно внутри кристалла микропроцессора, на борту модуля имеется две микросхемы памяти общим размером 256 МБ и JTAG-интерфейс для пошаговой отладки программ, а также NPI-порт для обмена данными, который может служить для подключения оценочных модулей АЦП и ЦАП через плату сопряжения.

### Заключение

В работе рассмотрены сравнительные особенности инструментальной реализации методов и алгоритмов восстановления искаженных (смазанных, дефокусированных, зашумленных) изображений на персональных ЭВМ (PC) и цифровых сигнальных процессорах (DSP). Анализ выполнен применительно к решению прямой и обратной задач смазывания и дефокусирования изображений, описываемых одномерными и двумерными интегральными уравнениями, решение которых осуществляется устойчивыми методами (в работе основное внимание уделено методу итеративной регуляризации Фридмана).

Особенности программирования изложены применительно к языку C/C++. Установлено, что наиболее быстрая реализация алгоритмов достигается в случае разработки кода на языке C/C++ с использованием специализированных библиотек фирмы `Texas Instruments` под каждое ядро процессора. Для создания быстродействующих алгоритмов необходимо использовать Ассемблер, который позволяет наиболее полно адаптировать код к типу процессора и периферийной схемотехники. Однако в этом случае время написания кода и трудоемкость работы велики. На практике для решения задач чаще всего используется код, написанный на языке C/C++, в некоторых случаях с использованием подпрограмм на языке Ассемблер.

Конвейерная архитектура, реализованная в процессорах C64x+, позволяет выполнять несколько операций одновременно, но требования к алгоритму при этом таковы, что данные выполняемых операций не должны зависеть друг от друга не только в момент выполнения операций, но и для следующего набора команд в конвейер. В этой связи алгоритмы для DSP необходимо реализовывать таким образом, чтобы его оптимизация на уровне конвейера производилась наиболее эффективным образом.

Выявлено, что в среде `Code Composer Studio v4.2.0` имеется хороший инструментарий для Фурье-анализа входных последовательностей, а также хорошая графическая оболочка для построения и анализа временных зависимостей, что существенно упрощает работу с необходимым математическим аппаратом.

Проанализированы возможности ПК и ЦСП по быстродействию и памяти, а также по разрядности и форматам чисел. В качестве элементной базы выбран микропроцессор `TMS320C6457` – процессор с фиксированной точкой, а вычисления, связанные с обработкой изображений, нужно вести с плавающей точкой. Показано, что для перехода к плавающей (виртуальной) точке целесообразно использовать разработанную фирмой `Texas Instruments` библиотеку `IQmath`.

### Литература

1. Бейтс Р., Мак-Доннелл М. Восстановление и реконструкция изображений. – М.: Мир, 1989. – 336 с.
2. Бакушинский А.Б., Гончарский А.В. Некорректные задачи. Численные методы и приложения. – М.: Изд-во МГУ, 1989. – 199 с.

3. Сизиков В.С. Математические методы обработки результатов измерений. – СПб: Политехника, 2001. – 240 с.
4. Гонсалес Р., Вудс Р. Цифровая обработка изображений. – М.: Техносфера, 2006. – 1072 с.
5. Гонсалес Р., Вудс Р., Эддинс С. Цифровая обработка изображений в среде MATLAB. – М.: Техносфера, 2006. – 616 с.
6. Воскобойников Ю.Е. Комбинированный нелинейный алгоритм восстановления контрастных изображений при неточно заданной аппаратной функции // Автометрия. – 2007. – Т. 43. – № 6. – С. 3–18.
7. Сизиков В.С., Римских М.В., Мирджамолов Р.К. Реконструкция смазанных и зашумленных изображений без использования граничных условий // Оптический журнал. – 2009. – Т. 76. – № 5. – С. 38–46.
8. Кирьянов К.А. Инструментальная реализация алгоритмов реконструкции искаженных изображений // Труды 20-й Междунар. конф. «GraphiCon-2010». – СПб: СПбГУ ИТМО, 2010. – С. 188–191.
9. Сизиков В.С. Прием «усечение–размытие–поворот» для восстановления искаженных изображений // Оптический журнал. – 2011. – Т. 78. – № 5. – С. 18–26.
10. Сизиков В.С. Обратные прикладные задачи и MatLab. – СПб: Лань, 2011. – 256 с.
11. Сизиков В.С. Интегральные уравнения и MatLab в задачах томографии, иконики и спектроскопии. – Saarbrücken : LAP (LAMBERT Academic Publishing), 2011. – 252 с.
12. Кирьянов К.А., Сизиков В.С. Применение сигнальных микропроцессоров в задачах реконструкции искаженных изображений // Изв. вузов. Приборостроение. – 2011. – Т. 54. – № 7. – С. 20–26.
13. Верлань А.Ф., Сизиков В.С. Интегральные уравнения: методы, алгоритмы, программы. – Киев: Наук. думка, 1986. – 544 с.
14. Кухарев Г.А., Тропченко А.Ю., Шмерко В.П. Системные процессоры для обработки сигналов. – Минск: Беларусь, 1988. – 127 с.
15. Кухарев Г.А., Тропченко А.Ю. Системный процессор для обращения матриц // Изв. вузов. Приборостроение. – 1990. – Т. 33. – № 11. – С. 23–27.
16. Тропченко А.Ю. Аппаратные средства для цифровой обработки сигналов: Уч.-методич. пособие по дисциплине «Методы обработки сигналов и изображений». – СПб: СПбГУ ИТМО, 2005. – 138 с.
17. Рабинер Л., Гоулд В. Теория и применение цифровой обработки сигналов. – М.: Мир, 1978. – 848 с.
18. Царев А.П. Алгоритмические модели и структуры высокопроизводительных процессоров цифровой обработки сигналов. – Szczecin: Informa, 2000. – 237 с.
19. Поршнева С.В. Вычислительная математика. Курс лекций. – СПб: БХВ-Петербург, 2004. – 304 с.
20. Киреев В.И., Пантелеев А.В. Численные методы в примерах и задачах. – М.: Высшая школа, 2006. – 480 с.
21. Texas Instruments. Digital Signal Processors [Электронный ресурс]. – Режим доступа: <http://www.ti.com/dsp>, свободный. Яз. англ. (дата обращения 18.10.2012).
22. Фингер Р. Библиотека функций IQMath для C64x+ с плавающей точкой в ЦСП с фиксированной точкой. Компоненты TI // Бюллетень научно-технич. информации. – 2011. – Вып. 2(30).
23. Blonstein S., Katorgi M. eXpressDSP For Dummies (eXpressDSP для «чайников»): Пер. с англ. – Новосибирск: 2004. – 101 с.

**Кирьянов Константин** – Санкт-Петербургский национальный исследовательский университет информационных технологий, механики и оптики, аспирант, kiryancon@front.ru  
**Александрович**  
**Сизиков Валерий Сергеевич** – Санкт-Петербургский национальный исследовательский университет информационных технологий, механики и оптики, доктор технических наук, профессор, sizikov2000@mail.ru